

## تعیین شرایط حدی در گنبدهای پوسته‌ای بدون خمش\*

نوشته:

محمد حسین کاشانی ثابت

PH.D.

دانشیار مقاومت مصالح دانشکده فنی

**مقدمه و خلاصه مقاله** - در محاسبات تعادلی و تغییرشکل گنبدهای پوسته‌ای دو مکتب موجود است:

- ۱ - نظریه غشائی<sup>(۱)</sup>      ۲ - نظریه خمی<sup>(۲)</sup>

در مکتب نخست از تأثیر لنگر خمی در محاسبات این نوع گنبدها صرفنظر می‌شود و این امر در گنبدهای پوسته‌ای بلند مورد پیدا می‌کند و نتیجه حاصله با واقعیت مطابقت دارد، زیرا در این حالت کمیت لنگر خمی اندک و قابل اغماض است در صورتیکه تأثیر قوس و انحنای بسیار مهم می‌باشد.

در مکتب دوم تأثیر لنگر خمی در محاسبات منظور می‌گردد و این موضوع در گنبدهای پوسته‌ای خواهد<sup>(۳)</sup> مصادق پیدا می‌کند که در آنها تأثیر عمل صفحه‌ها بر عمل قوس و انحنای فزونی دارد و دیگر نمی‌توان تأثیر لنگر خمی را نادیده گرفت.

اعمال و رعایت شرایط مناسب در تکیه گاهها در مکتب دوم کاملاً شناخته شده است ولی در مکتب نخست شرایط حدی حائز اهمیت بیشتری می‌باشد زیرا این شرایط باید طوری باشد که شرط اساسی صرفنظر کردن از تأثیر لنگر خمی را نقض ننماید.

این مقاله که از نظر خوانندگان می‌گذرد راجع به تعیین شرایط حدی طبیعی در این نوع گنبدها می‌باشد.

برای آنکه بحث در این موضوع جنبه عام داشته باشد و در مورد گنبدهای پوسته‌ای با شکل اختیاری

\* عدد داخل ابروها نمره هر سرچ را در فهرست مراجع ها می‌نماید.

صادق باشد ، در این مقاله گنبد پوسته‌ای باشکل غیرمشخص در نظر گرفته شده است بطوریکه هر نقطه از سطح میانگین<sup>(۱)</sup> آن دارای مختصات :

$$Z = Z(x, y)$$

باشد، که در آن  $x$  و  $y$  و  $z$  یک دستگاه مختصات متعامد را تشکیل داده و  $z$  یک تابع تک مقداری<sup>(۲)</sup> از دو متغیر مستقل  $x$  و  $y$  باشد.

انرژی تغییرشکل چنین پوسته‌ای بدوآ محاسبه گردیده سپس تغییرات آن تعیین و برای صفر قرارداده شده است تا شرایط حدی طبیعی<sup>(۳)</sup> بدست آید .

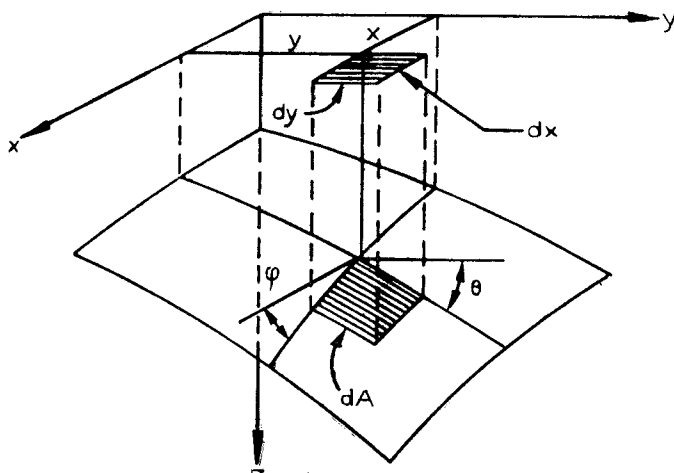
نتایج بدست آمده در گنبد های انتقالی (خطدار) مانند گنبد های استوانی با محیط مریع مستطیلی وغیره قابل اعمال میباشد . در پایان این مقاله ترکیبات ممکن از این شرایط حدی طبیعی در حالات زیر بررسی گردیده است :

الف - لبه آزاد

ج - لبه متکی بر تکیه گاه آزاد

#### ۱ - تعریف‌ها :

دستگاه مختصات نموده شده در شکل (۱) همان دستگاهی است که پوخر<sup>(۴)</sup> در بررسی تنش‌های گنبد های پوسته‌ای بدون خمش بکار برده است [۲، ۳، ۴ و ۵] .



شکل (۱)

خطوطی از گنبد بمختصات  $x =$  مقداری ثابت و  $y =$  مقداری ثابت ، از تلاقی سطح میانگین با صفحات عمود بر محورهای  $x$  و  $y$  بدست می‌آید .

در شکل (۲) نیروهای مؤثر و منتجه تنش‌های پوسته‌ای در واحد طول خطوط مختصات با  $N_x$  ،  $N_y$  و  $N_{xy}$

Single Valued function -۲

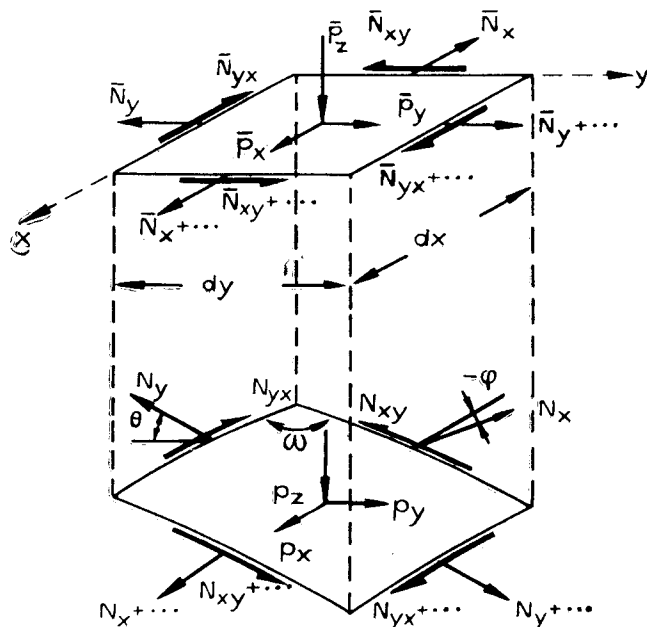
Pucher -۴

Middle Plane -۱

Natural Boundary conditions -۳

نموده شده است . نیروهای  $N_x$  و  $N_{yx}$  موازی با صفحه  $x$  و  $z$  ؛ نیروهای  $N_y$  و  $N_{xy}$  موازی با صفحه  $y$  و  $z$  میباشد .

در همین شکل مؤلفه های افقی نیروهای پوسته ای در واحد طول عنصر خط افقی  $dx$  یا  $dy$  با  $\bar{N}_x$  و  $\bar{N}_{xy}$  ،  $\bar{N}_y$  و  $\bar{N}_{yx}$  نشان داده شده است . مؤلفه های نیروهای خارجی در واحد سطح میانگین عنصر گنبد در امتداد های  $x$  و  $y$  و  $z$  عبارت از  $p_x$  ،  $p_y$  و  $p_z$  میباشد ، در صورتیکه  $p_x$  ،  $p_y$  و  $p_z$  معرف همین مؤلفه ها در واحد سطح تصویر افقی سطح میانگین خواهد بود .



شکل (۲)

اگر  $dA$  مساحت عنصر سطح گنبد و  $dxdy$  تصویر آن بر صفحه افقی باشد ، در میان این مؤلفه ها رابطه های زیر برقرار است :

$$(1) \quad \frac{\bar{p}_x}{p_x} = \frac{\bar{p}_y}{p_y} = \frac{\bar{p}_z}{p_z} = \frac{dA}{dxdy} = \frac{(1 - \sin^2\varphi \sin^2\theta)^{1/2}}{\cos\varphi \cos\theta}$$

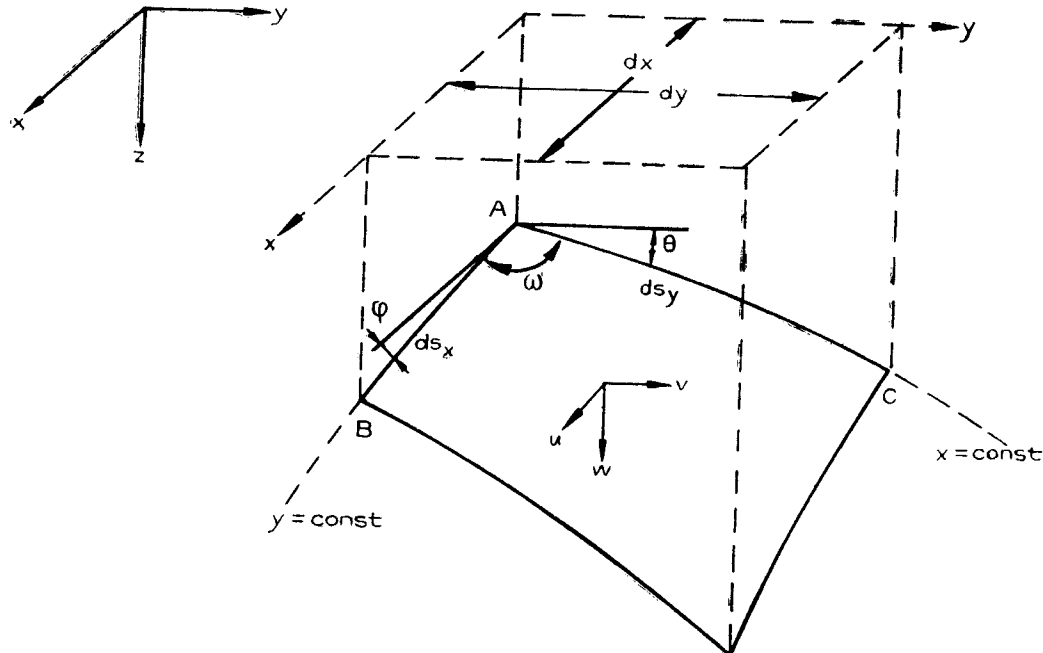
همچنین از ملاحظات هندسی نتایج زیر بدست میآید :

$$(2a-c) \quad \bar{N}_x = N_x \frac{\cos\varphi}{\cos\theta}, \quad N_{xy} = \bar{N}_{yx} = N_{xy} = N_{yx}, \quad \bar{N}_y = N_y \frac{\cos\theta}{\cos\varphi}$$

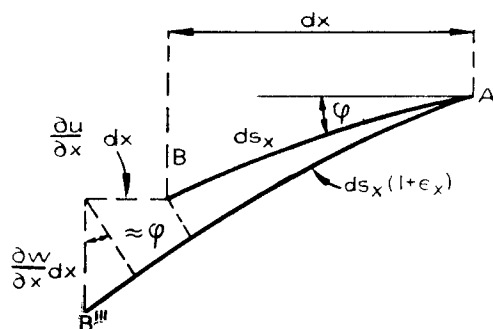
## ۲ - شرایط تعادل

تعادل نیروهای مؤثر بر روی عنصر گنبد در امتداد های  $x$  و  $y$  و  $z$  منجر بمعادلات شناخته شده زیر میگردد :

$$(ra-c) \quad \begin{aligned} \frac{\partial \bar{N}_x}{\partial x} + \frac{\partial \bar{N}_{yx}}{\partial y} &= -\bar{p}_x \\ \frac{\partial \bar{N}_y}{\partial y} + \frac{\partial \bar{N}_{xy}}{\partial x} &= -\bar{p}_y \\ \frac{\partial}{\partial x} \left( \bar{N}_x \times \frac{\partial Z}{\partial x} \right) + \frac{\partial}{\partial y} \left( \bar{N}_{yx} \times \frac{\partial Z}{\partial x} \right) + \frac{\partial}{\partial x} \left( \bar{N}_{xy} \times \frac{\partial Z}{\partial y} \right) + \frac{\partial}{\partial y} \left( \bar{N}_y \times \frac{\partial Z}{\partial y} \right) &= -\bar{p}_z \end{aligned}$$



شکل (۳)



شکل (۴)

میدانیم که اگر تنش هارا بر حسب تابع تنش اری<sup>(۱)</sup> بیان کنیم، در معادلات فوق صادق خواهد بود:

$$(ra-c) \quad \begin{aligned} \bar{N}_x &= \frac{\partial^r \varphi}{\partial y^r} - \int \bar{p}_x dx \\ \bar{N}_y &= \frac{\partial^r \varphi}{\partial x^r} - \int \bar{p}_y dy \\ \bar{N}_{xy} &= -\frac{\partial^r \varphi}{\partial x \partial y} \end{aligned}$$

اگر در معادله (۳c) بجای  $\bar{N}_x$  و  $\bar{N}_y$  عبارت های بالا را قرار دهیم نتیجه می شود :

$$(e) \quad L(\varphi) = \frac{\partial \varphi}{\partial x} \times \frac{\partial Z}{\partial y} - \frac{\partial \varphi}{\partial x \partial y} \times \frac{\partial Z}{\partial x \partial y} + \frac{\partial \varphi}{\partial y} \times \frac{\partial Z}{\partial x} = \\ - \bar{p}_z + p_x \times \frac{\partial Z}{\partial x} + p_y \times \frac{\partial Z}{\partial y} + \frac{\partial Z}{\partial x} \int \bar{p}_x dx + \frac{\partial Z}{\partial y} \int p_y dy$$

که در آن  $L$  یک عامل دیفرانسیل خطی است که در کاربردهای عملی از آن استفاده می گردد.  
باید خاطرنشان کرد که بکار بردن تابع اری در گنبد ها منسوب به پوخر میباشد [۵].

### ۳ - روابط هندسی

در شکل (۳) عنصری از گنبد با ابعاد افقی  $dx$  و  $dy$  آن و مؤلفه های مشخص تغییر مکان  $u$ ،  $v$  و  $w$  که موازی با محورهای مختصات  $x$ ،  $y$  و  $z$  میباشد نموده شده است.  
یک چنین عنصری اساساً با زوایای  $\varphi$ ،  $\theta$  و  $\omega$  مشخص می گردد. این زوایا با سطح  $z(x, y)$  گنبد پتریت زیر مربوط میباشد :

$$(1a-c) \quad tg\varphi = \frac{\partial z}{\partial x}, \quad tg\theta = \frac{\partial z}{\partial y}, \quad cos\omega = sin\varphi sin\theta = \left[ 1 + \left( \frac{\partial z}{\partial x} \right)^2 \right]^{1/2} \left[ 1 + \left( \frac{\partial z}{\partial y} \right)^2 \right]^{1/2}$$

### ۴ - روابط سینماتیک

شکل (۴) تغییر شکل ضلع  $dS_x = AB$  را نشان میدهد. از ملاحظات هندسی نتایج زیر بدست می آید:

$$\epsilon_x dS_x = \frac{\partial u}{\partial x} dx cos\varphi + \frac{\partial w}{\partial x} dx sin\varphi$$

با رعایت تقریبات از مرتبه اول، مؤلفه تغییر مکان  $v$  در کمیت  $\epsilon_x dS_x$  مؤثر نخواهد بود.

اگر در رابطه بالا بجای  $dS_x = dS_x / cos\varphi$  قرار دهیم،  $\epsilon_x$  عبارت زیر نوشته می شود :

$$(4a) \quad \epsilon_x = \frac{\partial u}{\partial x} cos^2\varphi + \frac{\partial w}{\partial x} sin\varphi cos\varphi$$

برای یک عنصر قوس  $dS_y$  بروش مشابهی خواهیم داشت :

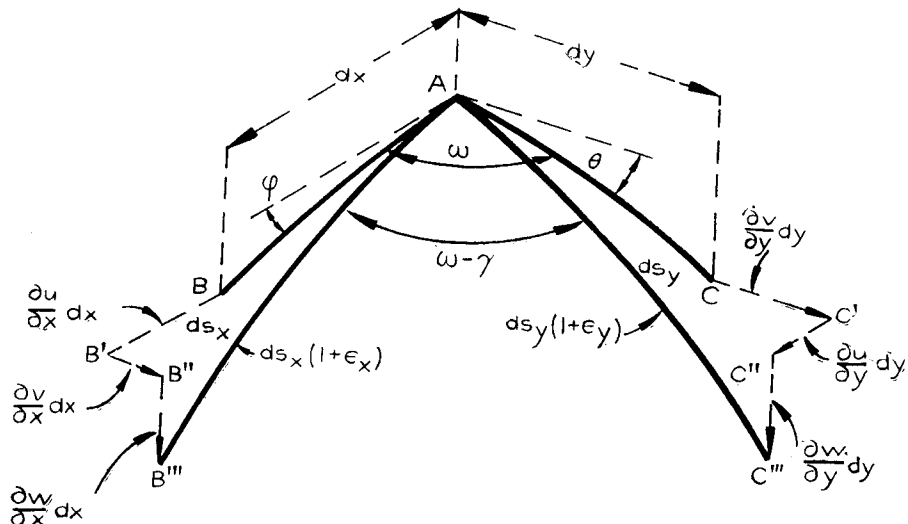
$$(4b) \quad \epsilon_y = \frac{\partial v}{\partial y} cos^2\theta + \frac{\partial w}{\partial y} sin\theta cos\theta$$

که در آن  $\epsilon_y$  عبارت از تغییر طول نسبی برای خطوط  $x =$  مقداری ثابت، میباشد.  
اگر ۲ عبارت از زاویه برشی عنصر گنبد یا تغییر شکل نسبی زاویه  $\omega$  در نتیجه برش باشد، میتوان

آنرا از محاسبه حاصلضرب عددوار حاملهای "AB" و "AC" بدو روش مختلف بدست آورد. از شکل (۵)

نتیجه میگردد:

$$(a) \quad dS_x dS_y (1 + \varepsilon_x)(1 + \varepsilon_y) \cos(\omega - \gamma) = \left(1 + \frac{\partial u}{\partial x}\right) dx \frac{\partial u}{\partial y} dy + \left(1 + \frac{\partial v}{\partial y}\right) dy \frac{\partial v}{\partial x} dx \\ + \left(tg\varphi + \frac{\partial w}{\partial x}\right) dx \left(tg\theta + \frac{\partial w}{\partial y}\right) dy$$



شکل (۵)

از طرف دیگر با بکار بردن عبارت های (۷ a) و (۷ b) بجای  $\varepsilon_x$  و  $\varepsilon_y$  ، همین حاصلضرب داخلی را با قراردادن  $\cos\gamma \approx 1$  و  $\sin\gamma \approx \gamma$  میتوان چنین نوشت :

$$(b) \quad \frac{dx}{\cos\varphi} \times \frac{dy}{\cos\theta} \left(1 + \frac{\partial u}{\partial x} \cos^2\varphi + \frac{\partial w}{\partial x} \cos\varphi \sin\varphi\right) \left(1 + \frac{\partial v}{\partial y} \cos^2\theta + \frac{\partial w}{\partial y} \cos\theta \sin\theta\right) \\ (\cos\omega + \gamma \sin\omega)$$

از برابری عبارت های (a) و (b) ،  $\gamma$  بشرح زیر بدست میآید :

$$(7c) \quad \gamma = \frac{1}{\sin\omega} \left( \frac{\partial u}{\partial y} \cos\varphi \cos\theta - \frac{\partial u}{\partial x} \sin\varphi \cos^2\varphi \sin\theta + \frac{\partial v}{\partial x} \cos\theta \cos\varphi \right. \\ \left. - \frac{\partial v}{\partial y} \sin\theta \cos^2\theta \sin\varphi + \frac{\partial w}{\partial x} \cos^2\varphi \sin\theta \right. \\ \left. + \frac{\partial w}{\partial y} \cos^2\theta \sin\varphi \right)$$

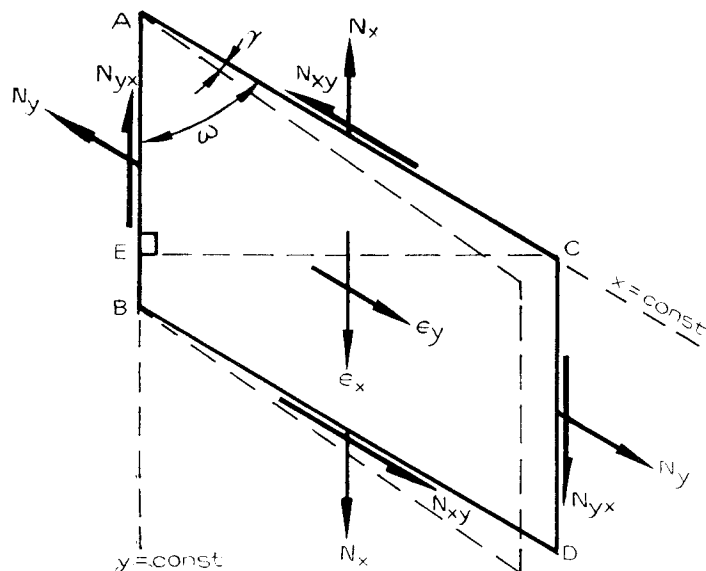
## ۵ - روابط ارتقایی :

انرژی تغییرشکل یک گند را میتوان بصورت تابعی از تنش ها یا تابعی از تغییرشکلهای نسبی

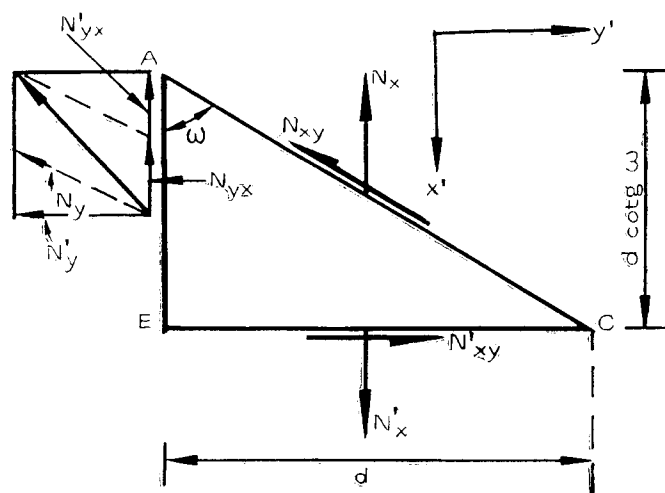
و همچنین بطریقه مخلوط بیان کرد. از طرف دیگر تنش ها و تغییر شکل های نسبی را میتوان با عبارتها یکه تابع مؤلفه های تغییر مکان باشد نوشت. چون هدف ما آنست که انرژی تغییر شکل بالتسیبه بتغییرات تغییر مکانها می نیم گردد لذا آنرا بصورت تابعی از مؤلفه های تغییر مکان  $u$ ,  $v$  و  $w$  بیان خواهیم کرد. در معادلات (۷) هم اکنون  $\epsilon_x$ ,  $\epsilon_y$  و  $\gamma$  بصورت توابعی از تغییر مکانها بیان شده است پس باقی میماند که تنش ها نیز بصورت توابعی از  $u$ ,  $v$  و  $w$  ذکر گردد. برای رسیدن بدین منظور از برخی روابط ارجاعی و هندسی استفاده خواهیم کرد.

شکل (۶) عنصر بی نهایت کوچکی از گنبد را نشان میدهد که با توجه به تقریب های از مرتبه اول میتوان آنرا متوازی الأضلاع در نظر گرفت. علاوه نموده شده راین شکل دارای همان معانی است که در صفحه های قبل ذکر گردید.

شکل (۷) یک دستگاه فرعی مختصات  $Ax'$  و  $Ay'$  و مثلث  $AEC$  جدا شده از عنصر گنبد (شکل ۶)

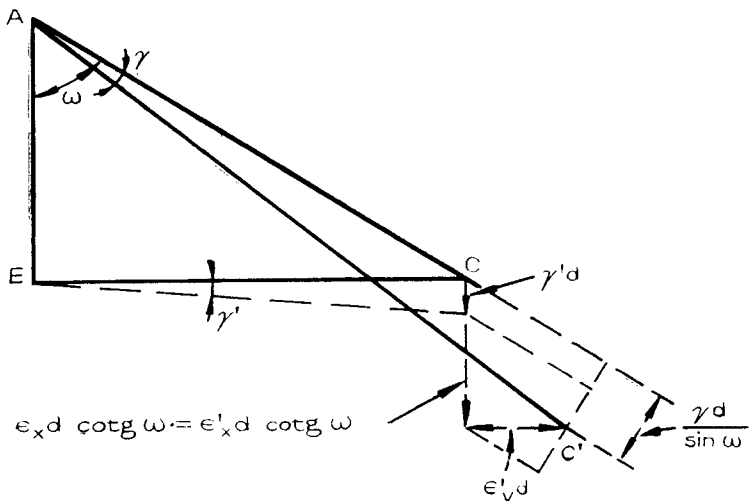


شکل (۶)



شکل (۷)

را که در صفحه این متوازی‌الاضلاع قرار دارد نشان می‌دهد. بدین‌طریق قانون هولک<sup>(۱)</sup> را میتوان بکار برد. در دستگاه جدید محورهای 'x' و 'y'، برآیندهای تنش  $N'_x$ ،  $N'_y$  و  $N'_{xy}$  معرف نیروهای پوسته‌ای و  $\epsilon'_x$ ،  $\epsilon'_y$  و  $\gamma'$  بترتیب معرف تغییرشکل‌های نسبی و زاویه برشی می‌باشد.



شکل (۸)

با نوشتن شرایط تعادل عنصر AEC گنبد، معادله‌های زیر بدست می‌آید:

$$N'_x = N_x \frac{1}{\sin \omega} + \gamma N_{xy} \cot \omega + N_y \frac{\cos \omega}{\sin \omega}$$

(۸ a-c)

$$N'_y = N_y \sin \omega$$

$$N'_{xy} = N_{xy} + N_y \cos \omega$$

با بکار بردن قانون هولک عبارت‌های زیر برای  $\epsilon'_x$ ،  $\epsilon'_y$  و  $\gamma'$  بدست می‌آید:

$$\begin{aligned} \epsilon'_x &= \epsilon_x = \frac{1}{Ee} (N'_x - v N'_y) \\ &= \frac{1}{Ee} \left( N_x \frac{1}{\sin \omega} + \gamma N_{xy} \cot \omega + N_y \sin \omega (\cot \omega - v) \right) \end{aligned}$$

(۹ a-c)

$$\begin{aligned} \epsilon'_y &= \frac{1}{Ee} (N'_y - v N'_x) \\ &= \frac{1}{Ee} \left( -N_x \frac{v}{\sin \omega} - \gamma v N_{xy} \cot \omega + N_y \left( \frac{\sin \omega - v \cos \omega}{\sin \omega} \right) \right) \\ \gamma' &= \frac{\gamma N'_{xy}(1+v)}{Ee} = \frac{\gamma(1+v)}{Ee} [N_{xy} + N_y \cos \omega] \end{aligned}$$

که در آن  $e$  عبارت از ضخامت گنبد و  $E$  ضریب ارتجاعی جسم آن و  $v$  ضریب پوآسون می‌باشد.

معادله های (۹ a-c) روابط بین نیروهای پوسته ای و تغییر شکل های نسبی را بیان می کند. از مجموعه معادله های (۸ a-c) و (۹ a-c) نیروهای  $N'_x$ ،  $N'_y$  و  $N'_{xy}$  و همچنین تغییر شکل های خطی و زاویه ای  $\epsilon'_x$ ،  $\epsilon'_y$  و  $\gamma'$  که بستگی بدستگاه جدید مختصات دارد بر حسب نیروهای پوسته ای مورب بدست می آید. با تغییر دادن جای x و y در معادله (۹a) رابطه میان  $\epsilon_y$  و  $N_x$  و  $N_y$  و  $N_{xy}$  بشرح زیر بدست می آید:

$$(9d) \quad \epsilon_y = \frac{1}{Ee} \left( N_y \frac{1}{\sin \omega} + 2N_{xy} \cot \omega + N_x \sin \omega (\cot \omega - v) \right)$$

در شکل (۸) فاصله d معرف یک طول مبدأ می باشد و داریم :

$$\frac{\gamma d}{\sin \omega} = \gamma' d \sin \omega + \epsilon'_x d \cot \omega \sin \omega - \epsilon'_y d \cos \omega$$

اگر بجای  $\epsilon'_x$ ،  $\epsilon'_y$  و  $\gamma'$  در این رابطه از معادلات (۹a-c) قرار دهیم نتیجه می شود :

$$(9e) \quad \gamma = \frac{1+v}{Ee} (N_x \cos \omega + 2N_{xy} + N_y \cos \omega)$$

## ۶- روابط میان تنش ها و تغییر مکانها

این روابط را میتوان از ترکیب روابط (۷ a-c) بترتیب با معادلات (۹a)، (۹d) و (۹e) بدست آورد.

بدین طریق سه معادله خطی زیر بدست می آید :

$$\begin{aligned}
 & N_x + (\cos^r \omega - v \sin^r \omega) N_y + 2N_{xy} \cos \omega \\
 & = Ee \sin \omega \left( \frac{\partial u}{\partial x} \cos^r \varphi + \frac{\partial w}{\partial x} \sin \varphi \cos \varphi \right) \\
 & (\cos^r \omega - v \sin^r \omega) N_x + N_y + 2N_{xy} \cos \omega \\
 & = Ee \sin \omega \left( \frac{\partial v}{\partial y} \cos^r \theta + \frac{\partial w}{\partial y} \sin \theta \cos \theta \right) \\
 & \cos \omega N_x + \cos \omega N_y + 2N_{xy} \\
 & = \frac{Ee}{1+v} \cdot \frac{1}{\sin \omega} \left( \frac{\partial u}{\partial y} \cos \varphi \cos \theta - \frac{\partial u}{\partial x} \sin \varphi \cos^r \varphi \sin \theta + \frac{\partial v}{\partial x} \cos \theta \cos \varphi \right. \\
 & \left. - \frac{\partial v}{\partial y} \sin \theta \cos^r \theta \sin \varphi + \frac{\partial w}{\partial x} \cos^r \varphi \sin \theta \right. \\
 & \left. + \frac{\partial w}{\partial y} \sin \varphi \cos^r \theta \right)
 \end{aligned} \tag{10 a-c}$$

از حل این سه معادله  $x$ ،  $y$  و  $xy$  برحسب تابعی از مشتقهای جزئی  $u$ ،  $v$  و  $w$  بدست می آید.

معادلات (۱۱ a-c) توجه شود.

$$\begin{aligned}
N_x &= \frac{Ee}{2(1-v^2)\sin\omega} \left[ 2 \frac{\partial u}{\partial x} \cdot \frac{\cos^2\varphi}{\sin^2\omega} - 2 \frac{\partial u}{\partial y} \cdot \frac{\cot\omega}{\sin\omega} \cos\varphi \cos\theta \right. \\
&\quad - 2 \frac{\partial v}{\partial x} \frac{\cot\omega}{\sin\omega} \cos\varphi \cos\theta + 2 \frac{\partial v}{\partial y} \cos^2\theta (v + \cot^2\omega) \\
&\quad \left. + 2 \frac{\partial w}{\partial x} \cos\varphi \left( \sin\varphi - \cos^2\varphi \sin\theta \frac{\cot\omega}{\sin\omega} \right) + 2 \frac{\partial w}{\partial y} \cos\theta \left( v \sin\theta - \cos^2\theta \sin\varphi \frac{\cot\omega}{\sin\omega} \right) \right] \\
N_{xy} &= \frac{Ee}{2(1-v^2)\sin\omega} \left[ -2 \frac{\partial u}{\partial x} \cos^2\varphi \frac{\cos\omega}{\sin^2\omega} + \frac{\partial u}{\partial y} \cos\varphi \cos\theta (1-v+2\cot^2\omega) \right. \\
&\quad + \frac{\partial v}{\partial x} \cos\varphi \cos\theta (1-v+2\cot^2\omega) - 2 \frac{\partial v}{\partial y} \cos^2\theta \frac{\cos\omega}{\sin^2\omega} \\
&\quad + \frac{\partial w}{\partial x} \cos\varphi \sin\theta (\cos^2\varphi - \sin^2\varphi - v + 2\cos^2\varphi \cot^2\omega) \\
&\quad \left. + \frac{\partial w}{\partial y} \sin\varphi \cos\theta (\cos^2\theta - \sin^2\theta - v + 2\cos^2\theta \cot^2\omega) \right] \\
N_y &= \frac{Ee}{2(1-v^2)\sin\omega} \left[ 2 \frac{\partial u}{\partial x} \cos^2\varphi (v + \cot^2\omega) - 2 \frac{\partial u}{\partial y} \cdot \frac{\cot\omega}{\sin\omega} \cos\varphi \cos\theta \right. \\
&\quad - 2 \frac{\partial v}{\partial x} \cdot \frac{\cot\omega}{\sin\omega} \cos\varphi \cos\theta + 2 \frac{\partial v}{\partial y} \frac{\cos^2\theta}{\sin^2\omega} + 2 \frac{\partial w}{\partial x} \cos\varphi \left( v \sin\varphi - \cos^2\varphi \sin\theta \frac{\cot\omega}{\sin\omega} \right) \\
&\quad \left. + 2 \frac{\partial w}{\partial y} \cos\theta \left( \sin\theta - \cos^2\theta \sin\varphi \frac{\cot\omega}{\sin\omega} \right) \right]
\end{aligned}$$

همچنین از ترکیب معادله های (۱۱ a-c) و (۲ a-c) بحسب تابعی از همین مشتقات تغییر مکانها بدست می آید . بمعادلات (۱۲ a-c) توجه شود .  
چون  $\bar{N}_{xy}$  برابر با  $N_{xy}$  میباشد پس لزومی ندارد عبارت آن نوشته شود .

$$\begin{aligned}
\bar{N}_x &= \frac{Ee}{2(1-v^2)\sin\omega} \left[ 2 \frac{\partial u}{\partial x} \cdot \frac{\cos^3\varphi}{\cos\theta\sin^2\omega} - 2 \frac{\partial u}{\partial y} \frac{\cot\omega}{\sin\omega} \cos^2\varphi \right. \\
&\quad - 2 \frac{\partial v}{\partial x} \frac{\cot\omega}{\sin\omega} \cos^2\varphi + 2 \frac{\partial v}{\partial y} (v + \cot^2\omega) \cos\varphi \cos\theta \\
&\quad \left. + 2 \frac{\partial w}{\partial x} \frac{\cos^2\varphi}{\cos\theta} \left( \sin\varphi - \cos^2\varphi \sin\theta \frac{\cot\omega}{\sin\omega} \right) + 2 \frac{\partial w}{\partial y} \cos\varphi \left( v \sin\theta - \cos^2\theta \sin\varphi \frac{\cot\omega}{\sin\omega} \right) \right] \\
(12 a-c) \quad \bar{N}_{xy} &= N_{xy} \\
\bar{N}_y &= \frac{Ee}{2(1-v^2)\sin\omega} \left[ 2 \frac{\partial u}{\partial x} \cos\varphi \cos\theta (v + \cot^2\omega) - 2 \frac{\partial u}{\partial y} \frac{\cot\omega}{\sin\omega} \cos^2\theta \right. \\
&\quad - 2 \frac{\partial v}{\partial x} \cdot \frac{\cot\omega}{\sin\omega} \cos^2\theta + 2 \frac{\partial v}{\partial y} \cdot \frac{\cos^3\theta}{\cos\varphi\sin^2\omega} + 2 \frac{\partial w}{\partial x} \cos\theta \left( v \sin\varphi - \cos^2\varphi \sin\theta \frac{\cot\omega}{\sin\omega} \right) \\
&\quad \left. + 2 \frac{\partial w}{\partial y} \frac{\cos^2\theta}{\cos\varphi} \left( \sin\theta - \cos^2\theta \sin\varphi \frac{\cot\omega}{\sin\omega} \right) \right]
\end{aligned}$$

## ۷ - عبارت های انرژی تغییر شکل

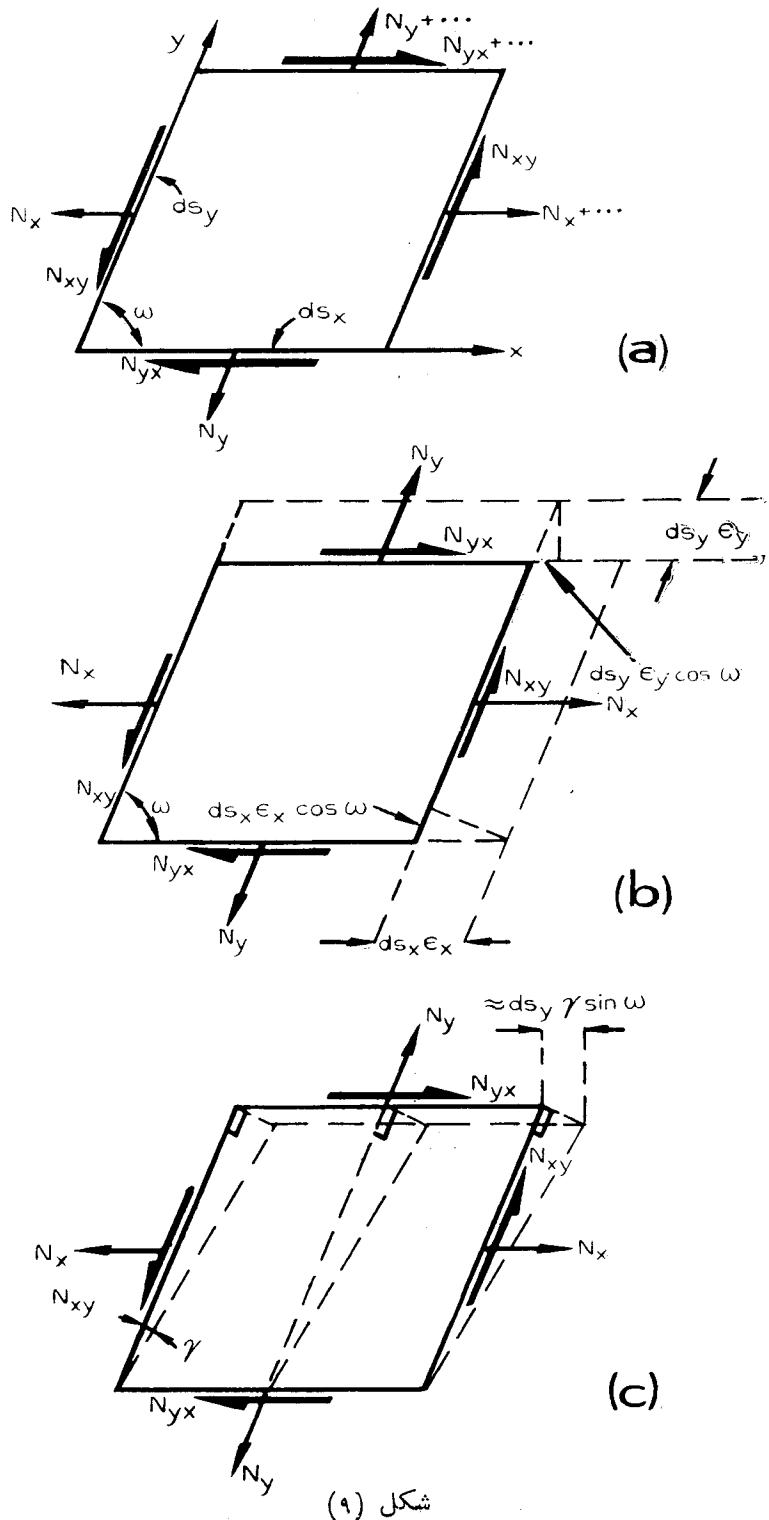
انرژی تغییر شکل  $U$  ، در واحد سطح میانگین گنبد را میتوان بحسب تابعی از  $N_x$  ،  $N_y$  ،  $N_{xy}$  و  $\gamma$  (شکل ۹a) بیان کرد .  
(شکل ۹b) نشان میدهد که کار نیروهای پوسته ای ناشی از یک تغییر شکل  $dS_x \epsilon_x$  با دقت رفتن جملات از مرتبه اول عبارت خواهد بود از :

$$\frac{1}{2} (N_x dS_y) (\epsilon_x dS_x) + \frac{1}{2} (N_{xy} dS_y) (\epsilon_x dS_x \cos\omega)$$

همچنین کار انجام شده برای یک تغییر شکل جزئی  $dS_y \epsilon_y$  برابر است با :

$$\frac{1}{2} (N_y dS_x \epsilon_y dS_y + N_{xy} dS_x \epsilon_y dS_y \cos \omega)$$

کار ناشی از یک زاویه برشی  $\gamma$  منجر به عبارت  $\frac{1}{2} (N_{xy} dS_x \gamma \sin \omega dS_y)$  خواهد شد زیرا نیروهای دیگر یا عمود بر تغییر مکان میباشد یا کارهای آنها یکدیگر را خنثی میکند (شکل ۹c).



شکل (۹)

بالنتیجه برای عنصری از گنبد بمساحت  $dS_x dS_y \sin\omega$ ، انرژی تغییرشکل ناشی از تغییر طولهای نسبی  $\epsilon_x$  و  $\epsilon_y$  و تغییرشکل زاویه‌ای  $\gamma$  را از جمکارهای جزئی آنها میتوان بعبارت زیر نوشت:

$$U_0 dS_x dS_y \sin\omega = \frac{1}{2} N_x dS_y dS_x \epsilon_x + \frac{1}{2} N_{xy} dS_x dS_y \epsilon_x \cos\omega \\ + \frac{1}{2} N_y dS_x dS_y \epsilon_y + \frac{1}{2} N_{xy} dS_y dS_x \epsilon_y \cos\omega \\ + \frac{1}{2} N_{xy} dS_x dS_y \gamma \sin\omega$$

از تقسیم طرفین معادله بالا بر  $dS_x dS_y$  نتیجه میگردد:

$$(12) \quad U_0 = \frac{1}{2 \sin\omega} [(N_x + N_{xy} \cos\omega) \epsilon_x + (N_y + N_{xy} \cos\omega) \epsilon_y + N_{xy} \gamma \sin\omega]$$

اکنون با دانستن  $U_0$  میتوان انرژی تغییرشکل را برحسب مشتقهای  $u$ ،  $v$  و  $w$  بهمک معادلات

(۱۱) و (۱۲) که نیروها و تغییرشکلها بصورت تابعی از آنها میباشد بیان کرد. معادله (۱۲) انرژی تغییرشکل

برای تمام سطح خواهد بود:

$$U = \frac{Ee}{4(1-v^2)} \int \int \left[ 2 \left( \frac{\partial u}{\partial x} \right)^2 \frac{\cos^3 \phi}{\cos \theta \sin^3 \omega} + \left( \frac{\partial u}{\partial y} \right)^2 \cdot \cos \phi \cos \theta \frac{1-v+2 \cot^2 \omega}{\sin \omega} \right. \\ + \left( \frac{\partial v}{\partial x} \right)^2 \left( \cos \phi \cos \theta \frac{1-v+2 \cot^2 \omega}{\sin \omega} \right) + 2 \left( \frac{\partial v}{\partial y} \right)^2 \cdot \frac{\cos^3 \theta}{\cos \phi \sin^3 \omega} \\ + \left( \frac{\partial w}{\partial x} \right)^2 \frac{\cos \phi}{\cos \theta \sin \omega} (\sin^2 \theta (\cos^2 \phi - \sin^2 \phi - v) + 2 \sin^2 \phi - 2 \cos^2 \phi \cos^2 \theta \cot^2 \omega) \\ + \left( \frac{\partial w}{\partial y} \right)^2 \frac{\cos \theta}{\cos \phi \sin \omega} (\sin^2 \phi (\cos^2 \theta - \sin^2 \theta - v) + 2 \sin^2 \theta - 2 \cos^2 \theta \cos^2 \phi \cot^2 \omega) \\ - 4 \frac{\partial u}{\partial x} \frac{\partial u}{\partial y} \frac{\cot \omega}{\sin^2 \omega} \cos^2 \phi - 4 \frac{\partial u}{\partial x} \frac{\partial v}{\partial x} \frac{\cot \omega}{\sin^2 \omega} \cos^2 \phi + 4 \frac{\partial u}{\partial x} \frac{\partial v}{\partial y} \cdot \cos \phi \cos \theta \frac{v+\cot^2 \omega}{\sin \omega} \\ + 4 \frac{\partial u}{\partial x} \frac{\partial w}{\partial x} \frac{\cos^2 \phi}{\cos \theta \sin \omega} (\sin \phi - \cos^2 \phi \sin \theta \frac{\cot \omega}{\sin \omega}) + 4 \frac{\partial u}{\partial x} \frac{\partial w}{\partial y} \frac{\cos \phi}{\sin \omega} (v \sin \theta - \cos^2 \theta \sin \phi \frac{\cot \omega}{\sin \omega}) \\ + 2 \frac{\partial v}{\partial x} \frac{\partial w}{\partial x} \frac{\cos \phi \sin \theta}{\sin \omega} \left( \frac{2 \cos^2 \phi}{\sin^2 \omega} - (1+v) \right) + 2 \frac{\partial u}{\partial x} \frac{\partial w}{\partial x} \frac{\cos \phi \sin \theta}{\sin \omega} \left( \frac{2 \cos^2 \phi}{\sin^2 \omega} - (1+v) \right) \\ + 2 \frac{\partial v}{\partial x} \frac{\partial w}{\partial y} \frac{\cos \theta \sin \phi}{\sin \omega} \left( \frac{2 \cos^2 \theta}{\sin^2 \omega} - (1+v) \right) + 4 \frac{\partial v}{\partial y} \frac{\partial w}{\partial x} \frac{\cos \theta}{\sin \omega} (v \sin \phi - \cos^2 \phi \sin \theta \frac{\cot \omega}{\sin \omega}) \\ + 2 \frac{\partial w}{\partial x} \frac{\partial w}{\partial y} \cdot \cot \omega \left( \frac{2 \cos^2 \phi \cos^2 \theta}{\sin^2 \omega} - (1-v) \right) - 4 \frac{\partial u}{\partial y} \frac{\partial v}{\partial y} \cos^2 \theta \frac{\cot \omega}{\sin^2 \omega} - 4 \frac{\partial v}{\partial x} \frac{\partial v}{\partial y} \cos^2 \theta \cdot \frac{\cot \omega}{\sin^2 \omega} \\ + 4 \frac{\partial v}{\partial y} \frac{\partial w}{\partial y} \frac{\cos^2 \theta}{\cos \phi \sin \omega} (\sin \theta - \cos^2 \theta \sin \phi \frac{\cot \omega}{\sin \omega}) + 2 \frac{\partial u}{\partial y} \frac{\partial w}{\partial y} \frac{\cos \theta \sin \phi}{\sin \omega} \left( \frac{2 \cos^2 \theta}{\sin^2 \omega} - (1+v) \right) \\ \left. + 2 \frac{\partial u}{\partial y} \frac{\partial v}{\partial x} \cos \theta \cos \phi \frac{1-v+2 \cot^2 \omega}{\sin \omega} \right] dx dy$$

باید خاطرنشان کرد که انرژی  $U$  را برحسب تابعی از تنش های زمینه میتوان بدست آورد [۷]؛ داریم:

$$\sigma'_x = \frac{N'_x}{e} \quad , \quad \sigma'_y = \frac{N'_y}{e} \quad \text{و} \quad \tau'_{xy} = G\gamma'$$

پس  $U_0$  برابر است با:

$$(10) \quad U_0 = \frac{e}{2E} (\sigma'_x + \sigma'_y) - \frac{ve}{E} (\sigma'_x \cdot \sigma'_y) + \frac{e}{2G} \tau'_{xy}$$

توضیح - در سطر پانزدهم از بالا قبل از اولین پرانتز حرف  $\omega$  در مخرج افتاده است.

که در آن  $e$ ،  $E$  و  $v$  بترتیب عبارت از ضخامت گنبد، ضریب ارجاعی، ضریب پیچشی و ضریب پوآسون میباشد. بموجب قانون هوك میتوان نوشت:

$$(16) \quad \begin{aligned} \sigma'_x &= \frac{E}{1-v^2} (\epsilon'_x + v \epsilon'_y) \\ \sigma'_y &= \frac{E}{1-v^2} (\epsilon'_y + v \epsilon'_x) \\ \tau'_{xy} &= G \gamma'_{xy} = G \gamma' = \frac{E}{2(1+v)} \gamma' \end{aligned}$$

با گزاردن مقادیر (۱۶) در معادله (۱۵)، خواهیم داشت:

$$(17) \quad U_e = \frac{Ee}{2(1-v^2)} [(\epsilon''_x + \epsilon''_y) + 2v \epsilon'_x \epsilon'_y + \frac{(1-v)}{2} \gamma'']$$

معادله های (۱۳) و (۱۷) منتهی یکن تیجه میگردند. در حقیقت، عبارت انرژی تغییرشکل برای تمامی سطح گنبد بموجب معادله (۱۷) چنین خواهد بود:

$$(18) \quad U = \frac{Ee}{2(1-v^2)} \int \int \left[ (\epsilon_x'' + \epsilon_y'') + 2v \epsilon'_x \epsilon'_y + \frac{\gamma''(1-v)}{2} \right] dA$$

که در آن  $dA$  معرف عنصر جزئی از سطح میانگین گنبد میباشد که بشرح زیر نوشته میشود:

$$(19) \quad dA = \frac{dx dy \sin \omega}{\cos \varphi \cos \theta}$$

## ۸- تعیین شرایط حدی طبیعی

بموجب آنچه که در مراجع های [۱-۴] مذکور است، شرایط حدی را میتوان با حداقل گردانیدن انرژی تغییرشکل بدست آورد. عبارت انرژی تغییرشکل تابعی از متغیرهای مطلق  $x$  و  $y$  و متغیرهای غیرمستقل  $u$ ،  $v$  و  $w$  میباشد که باید نخست تغییرات آنرا پیدا کرده سپس عبارت بدست آمده برای این تغییرات را برابر صفر قرار داد. بدین منظور از قواعد محاسبه تغییرات<sup>(۱)</sup> استفاده شد. محاسبه فوق در مورد گنبدی با محیط مربع مستطیلی باضلاع  $a$  و  $b$  انجام گردید. مبدأ مختصات متعارف  $x$ ،  $y$  و  $z$  در مرکز این مربع مستطیل واقع در سطح میانگین گنبد در نظر گرفته شد.

پس از انجام انتگراسیون های جزء به جزء و ساده کردن های متعدد که ذکر آنها طولانی واز حوصله صفحات مجله خارج است، عبارت زیر برای این تغییرات بدست آمد:

$$\begin{aligned}
(1) \quad \delta U = & \frac{Ee}{2(1-v^2)} \left\{ \int_{-\frac{b}{2}}^{\frac{b}{2}} \left[ \left( 2 \left( \frac{\cos^3 \varphi}{\cos \theta} \cdot \frac{1}{\sin^3 \omega} \frac{\partial u}{\partial x} - \frac{\cos^2 \varphi \cos \omega}{\sin^3 \omega} \left( \frac{\partial u}{\partial y} + \frac{\partial v}{\partial x} \right) + \cos \varphi \cos \theta \frac{v + \cot^2 \omega}{\sin \omega} \cdot \frac{\partial v}{\partial y} \right. \right. \right. \right. \\
& + \frac{\cos^2 \varphi \sin \varphi \cos \theta}{\sin^3 \omega} \cdot \frac{\partial w}{\partial x} + \frac{\cos^3 \varphi \sin \theta}{\sin^3 \omega} (v - (1-v) \tan^2 \varphi \cos^2 \theta) \frac{\partial w}{\partial y} \Big) \delta u \\
& + \left( -2 \frac{\cos^2 \varphi \cos \omega}{\sin^3 \omega} \cdot \frac{\partial u}{\partial x} + \cos \varphi \cos \theta \frac{1-v+2 \cot^2 \omega}{\sin \omega} \left( \frac{\partial u}{\partial y} + \frac{\partial v}{\partial x} \right) \right. \\
& - 2 \frac{\cos^2 \theta \cos \omega}{\sin^3 \omega} \cdot \frac{\partial v}{\partial y} + \frac{\cos \varphi \sin \theta}{\sin \omega} \left( \frac{2 \cos^2 \varphi}{\sin^2 \omega} - (1+v) \right) \frac{\partial w}{\partial x} + \frac{\cos \theta \sin \varphi}{\sin \omega} \left( \frac{2 \cos^2 \theta}{\sin^2 \omega} - (1+v) \frac{\partial w}{\partial y} \right) \delta v \\
& + \left( 2 \frac{\cos^3 \varphi \sin \theta \cos \theta}{\sin^3 \omega} \cdot \frac{\partial u}{\partial x} + \frac{\cos \varphi \sin \theta}{\sin \omega} \left( \frac{2 \cos^2 \varphi}{\sin^2 \omega} - (1+v) \right) \left( \frac{\partial u}{\partial y} + \frac{\partial v}{\partial x} \right) + \frac{2 \cos^3 \theta \sin \varphi}{\sin^3 \omega} (v - (1-v) \tan^2 \theta \cos^2 \varphi) \frac{\partial v}{\partial y} \right. \\
& \left. \left. \left. \left. + \frac{\cos \varphi}{\cos \theta \sin^3 \omega} (\sin^2 \theta (\cos^2 \varphi - \sin^2 \varphi - v) + 2 \sin^2 \varphi \right. \right. \right. \right. \\
& \left. \left. \left. \left. - 2 \cos^2 \theta \cos^2 \varphi \cot^2 \omega \right) \frac{\partial w}{\partial x} + \cot \omega \left( \frac{2 \cos^2 \varphi \cos^2 \theta}{\sin^2 \omega} - (1-v) \right) \frac{\partial w}{\partial y} \right) \delta w \right] \frac{a}{2} \right. \\
& \left. + \left[ \int_{-\frac{a}{2}}^{\frac{a}{2}} \left( \left( -2 \frac{\cos^2 \varphi \cos \omega}{\sin^3 \omega} \cdot \frac{\partial u}{\partial x} + \cos \varphi \cos \theta \frac{1-v+2 \cot^2 \omega}{\sin \omega} \left( \frac{\partial u}{\partial y} + \frac{\partial v}{\partial x} \right) \right. \right. \right. \right. \\
& - 2 \frac{\cos^2 \theta \cos \omega}{\sin^3 \omega} \cdot \frac{\partial v}{\partial y} + \frac{\cos \varphi \sin \theta}{\sin \omega} \left( \frac{2 \cos^2 \varphi}{\sin^2 \omega} - (1+v) \right) \frac{\partial w}{\partial x} + \frac{\cos \theta \sin \varphi}{\sin \omega} \left( \frac{2 \cos^2 \theta}{\sin^2 \omega} - (1+v) \right) \frac{\partial w}{\partial y} \delta u \\
& \left. \left. \left. \left. + 2 \left( \cos \varphi \cos \theta \frac{v + \cot^2 \omega}{\sin \omega} \cdot \frac{\partial u}{\partial x} - \cos^2 \theta \frac{\cos \omega}{\sin^3 \omega} \left( \frac{\partial u}{\partial y} + \frac{\partial v}{\partial x} \right) \right. \right. \right. \right. \\
& \left. \left. \left. \left. + \frac{\cos^3 \theta}{\cos \varphi \sin^3 \omega} \cdot \frac{\partial v}{\partial y} + \frac{\cos^3 \theta \sin \varphi}{\sin^3 \omega} (v - (1-v) \tan^2 \theta \cos^2 \varphi) \frac{\partial w}{\partial x} + \frac{\cos^2 \theta \sin \theta \cos \varphi}{\sin^3 \omega} \cdot \frac{\partial w}{\partial y} \right) \delta v \right] \frac{a}{2} \right. \\
& \left. + \left( 2 \frac{\cos^3 \varphi \sin \theta}{\sin^3 \omega} (v - (1-v) \tan^2 \varphi \cos^2 \theta) \frac{\partial u}{\partial x} + \frac{\cos \theta \sin \varphi}{\sin \omega} \left( \frac{2 \cos^2 \theta}{\sin^2 \omega} - (1+v) \right) \left( \frac{\partial u}{\partial y} + \frac{\partial v}{\partial x} \right) \right. \right. \\
& \left. \left. + 2 \frac{\cos^2 \theta \sin \theta \cos \varphi}{\sin^3 \omega} \cdot \frac{\partial v}{\partial y} + \cot \omega \left( 2 \frac{\cos^2 \varphi \cos^2 \theta}{\sin^2 \omega} - (1-v) \right) \frac{\partial w}{\partial x} \right. \right. \\
& \left. \left. + \frac{\cos \theta}{\cos \varphi \sin \omega} (\sin^2 \varphi (\cos^2 \theta - \sin^2 \theta - v) + 2 \sin^2 \theta - 2 \cos^2 \theta \cos^2 \varphi \cot^2 \omega) \frac{\partial w}{\partial y} \right) \delta w \right] \frac{b}{2} \right. \\
& \left. + \int_{-\frac{a}{2}}^{\frac{a}{2}} \int_{-\frac{b}{2}}^{\frac{b}{2}} \left[ \left( 2 \frac{\cos^3 \varphi}{\cos \theta} \cdot \frac{1}{\sin^3 \omega} \cdot \frac{\partial^2 u}{\partial x^2} - 4 \cos^2 \varphi \frac{\cos \omega}{\sin^3 \omega} \cdot \frac{\partial^2 u}{\partial x \partial y} \right. \right. \right. \right. \\
& + \cos \varphi \cos \theta \frac{1-v+2 \cot^2 \omega}{\sin \omega} \cdot \frac{\partial^2 u}{\partial y^2} - 2 \cos^2 \varphi \frac{\cos \omega}{\sin^3 \omega} \cdot \frac{\partial^2 v}{\partial x^2} + \cos \varphi \cos \theta \frac{4 \cot^2 \omega + 1+v}{\sin \omega} \frac{\partial^2 v}{\partial x \partial y} - 2 \cos^2 \theta \frac{\cos \omega}{\sin^3 \omega} \cdot \frac{\partial^2 v}{\partial y^2} \\
& + 2 \frac{\cos^2 \varphi}{\cos \theta \sin \omega} \left( \sin \varphi - \cos^2 \varphi \sin \theta \frac{\cot \omega}{\sin \omega} \right) \frac{\partial^2 w}{\partial x^2} + \left( \frac{2v \cos \varphi \sin \theta}{\sin \omega} - 2 \cos^2 \theta \cos \varphi \sin \varphi \frac{\cot \omega}{\sin^2 \omega} \right. \\
& + 2 \frac{\cos^3 \varphi \sin \theta}{\sin^3 \omega} \left( \frac{(1+v) \cos \varphi \sin \theta}{\sin \omega} \right) \frac{\partial^2 w}{\partial x \partial y} + \frac{\cos \theta \sin \varphi}{\sin \omega} \left( \frac{2 \cos^2 \theta}{\sin^2 \omega} - (1+v) \right) \frac{\partial^2 w}{\partial y^2} \delta u + \left( -2 \cos^2 \varphi \frac{\cos \omega}{\sin^3 \omega} \cdot \frac{\partial^2 u}{\partial x^2} \right. \\
& \left. \left. \left. \left. + \cos \varphi \cos \theta \frac{4 \cot^2 \omega + 1+v}{\sin \omega} \cdot \frac{\partial^2 u}{\partial x \partial y} - 2 \cos^2 \theta \frac{\cos \omega}{\sin^3 \omega} \cdot \frac{\partial^2 u}{\partial y^2} \right. \right. \right. \right. \\
& \left. \left. \left. \left. + \cos \varphi \cos \theta \frac{1-v+2 \cot^2 \omega}{\sin \omega} \cdot \frac{\partial^2 v}{\partial x^2} - 4 \cos^2 \theta \frac{\cos \omega}{\sin^3 \omega} \cdot \frac{\partial^2 v}{\partial x \partial y} \right. \right. \right. \right. 
\end{aligned}$$



با استفاده از معادله های (۱۲ a-c) و (۱۲ a-c) و انجام محاسبات بسیار برای اثبات برخی اتحاد های مثلثاتی در عبارت های  $\delta U$  ،  $\bar{N}_{xy}$  و  $\bar{N}_y$  ،  $\bar{N}_x$  عبارت (۲۰) به شکل ساده زیر منجرب شد :

$$(21) \quad \begin{aligned} \delta U = & \left\{ \left[ \int_{-\frac{b}{2}}^{\frac{b}{2}} \left( \bar{N}_x \delta u + \bar{N}_{xy} \delta v + \left( \bar{N}_x \frac{\partial z}{\partial x} + \bar{N}_{xy} \frac{\partial z}{\partial y} \right) \delta w \right) dy \right]_{-\frac{a}{2}}^{\frac{a}{2}} \right. \\ & + \left[ \int_{-\frac{a}{2}}^{\frac{a}{2}} \left( \bar{N}_{yx} \delta u + \bar{N}_y \delta v + \left( \bar{N}_y \frac{\partial z}{\partial y} + N_{yx} \frac{\partial z}{\partial x} \right) \delta w \right) dx \right]_{-\frac{b}{2}}^{\frac{b}{2}} \\ & - \int_{-\frac{a}{2}}^{\frac{a}{2}} \int_{-\frac{b}{2}}^{\frac{b}{2}} \left[ \left( \frac{\partial \bar{N}_x}{\partial x} + \frac{\partial \bar{N}_{yx}}{\partial y} \right) \delta u + \left( \frac{\partial \bar{N}_y}{\partial y} + \frac{\partial \bar{N}_{xy}}{\partial x} \right) \delta v \right. \\ & \left. + \left( \frac{\partial}{\partial x} \left( \bar{N}_x \frac{\partial z}{\partial x} + \bar{N}_{xy} \frac{\partial z}{\partial y} \right) + \frac{\partial}{\partial y} \left( \bar{N}_{yx} \frac{\partial z}{\partial x} + \bar{N}_y \frac{\partial z}{\partial y} \right) \right) \delta w \right] dxdy \end{aligned}$$

چون با استی  $\delta U$  برای تمام تغییرات ممکن  $\delta u$  ،  $\delta v$  و  $\delta w$  برابر صفر باشد ، لذا باید عبارت های زیر علامت انتگرال (۲۱) متعدد با صفر باشد .

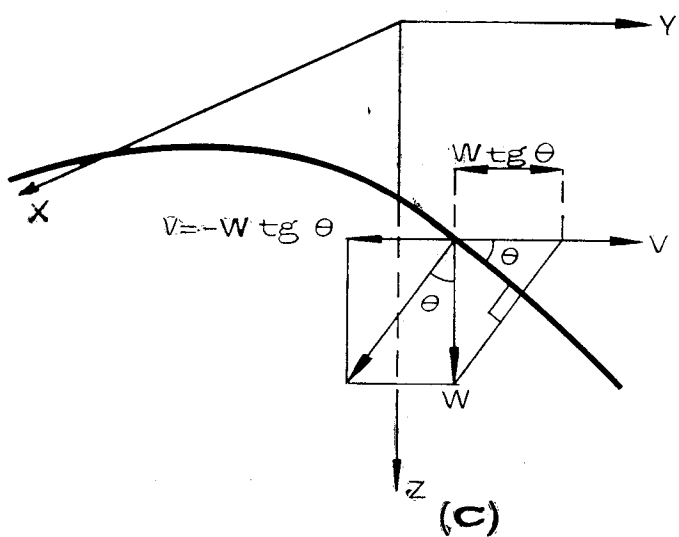
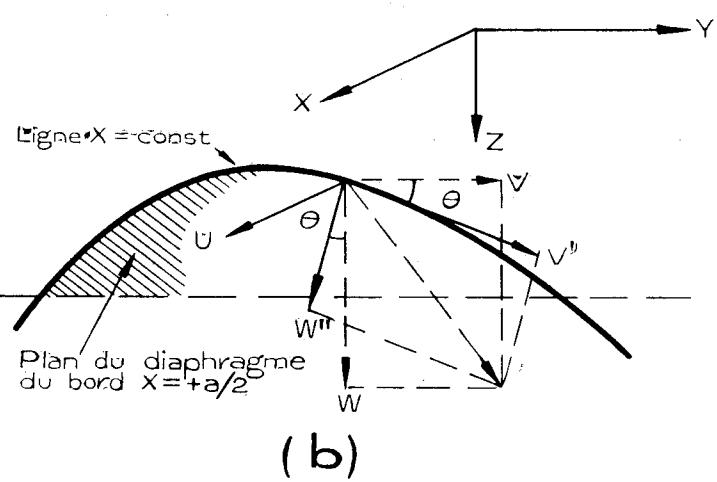
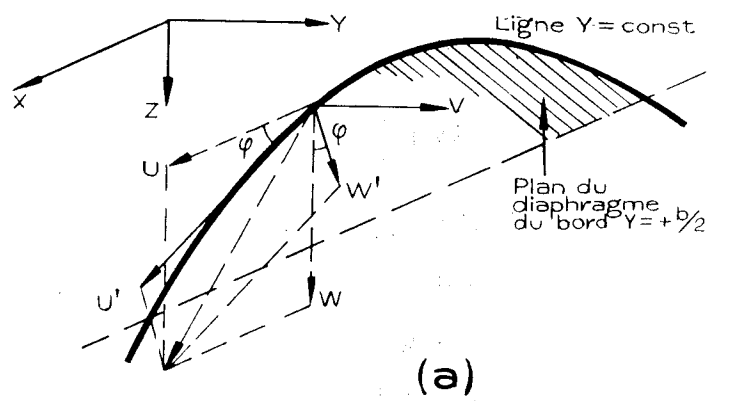
بدین طریق انتگرال مضاعف (۲۱) معادله های زیر را نتیجه میدهد :

$$(22 a-c) \quad \begin{aligned} \frac{\partial \bar{N}_x}{\partial x} + \frac{\partial \bar{N}_{yx}}{\partial y} &= 0 \\ \frac{\partial \bar{N}_y}{\partial y} + \frac{\partial \bar{N}_{xy}}{\partial x} &= 0 \\ \frac{\partial}{\partial x} \left( N_x \cdot \frac{\partial z}{\partial x} + \bar{N}_{xy} \frac{\partial z}{\partial y} \right) + \frac{\partial}{\partial y} \left( N_y \frac{\partial z}{\partial y} + \bar{N}_{yx} \frac{\partial z}{\partial x} \right) &= 0 \end{aligned}$$

این معادله ها قسمت متجانس معادله های شناخته شده تعادل (۳a-c) میباشد که دوباره به است آمد . چون انرژی تغییر شکل گنبد با دون در نظر گرفتن نیروهای خارجی مؤثر بسطح آن وبالنتیجه انرژی پتانسیل آنها می نیمم گردید ، لذا جمله های مربوط باین نیروها در معادله های (۲۲ a-c) ظاهر نشده است . شرایط حدی معادله (۲۱) تمام از یک نوع است ، پس اگر شرایط حدی طبیعی را در طول یک ضلع از محیط آن مانند  $x = \frac{a}{2}$  شرح دهیم کفایت خواهد کرد و نتایج مشابهی برای سه ضلع دیگر بدست می آید .

اگر مجددآ نخستین انتگرال معادله (۲۱) را مورد توجه قرار دهیم خواهیم داشت :

$$(23) \quad \int_{-\frac{b}{2}}^{\frac{b}{2}} \left( \bar{N}_x \left( \delta u + \frac{\partial z}{\partial x} \delta w \right) + \bar{N}_{xy} \left( \delta v + \frac{\partial z}{\partial y} \delta w \right) \right) dy$$



(شكل ١٠)

برای آنکه مقدار آن صفر باشد ، لازم است که :

$$(24 \text{ a , b}) \quad \cdot = \delta u + \frac{\partial z}{\partial x} \delta w \quad \text{باشد} \quad \text{یا} \quad \cdot = \bar{N}_x \quad \text{یا}$$

$$(24 \text{ c , d}) \quad \cdot = \delta v + \frac{\partial z}{\partial y} \delta w \quad \text{باشد} \quad \text{یا} \quad \cdot = \bar{N}_{xy} \quad \text{یا}$$

و

معادله های (24 a-d) شرایط حدی طبیعی در طول ضلع  $x = \frac{a}{2}$  میباشد . شرایط استاتیکی راجع به  $\bar{N}_x$  و  $\bar{N}_{xy}$  آشکار است ؟ ولی شرایط سینماتیکی نیاز بوضیحاتی دارد . بدین جهت تغییر مکان نقطه منظوری را با مؤلفه های آن در دودستگاه جدید مختصات تعریف میکنیم . شکل (10 a) یکی از این دستگاه های مبنا را نشان میدهد . مؤلفه  $u'$  مماس بر خط  $y =$  مقداری ثابت میباشد ، مؤلفه  $v'$  تغییر خواهد کرد ، و  $w'$  عمود بر  $u'$  و  $v'$  میباشد . آشکارا نتیجه میگردد که :

$$(25 \text{ a-c}) \quad u' = u \cos \varphi + w \sin \varphi, \quad w' = w \cos \varphi - u \sin \varphi$$

بروش مشابهی دستگاه مبنای دوم دارای مؤلفه  $v'$  مماس بر خط  $x =$  مقداری ثابت (شکل 10 b) داشت :

$$(26 \text{ a-c}) \quad v' = v \cos \theta + w \sin \theta, \quad w' = w \cos \theta - v \sin \theta$$

از معادله های (25 a) و (26 a) نتیجه میگردد که :

$$(27 \text{ a}) \quad \delta u' = \delta u \cos \varphi + \delta w \sin \varphi$$

$$(27 \text{ b}) \quad \delta v' = \delta v \cos \theta + \delta w \sin \theta$$

دیده میشود که  $\delta u'$  و  $\delta v'$  تغییرات تغییر مکان هائی است که در عبارت (23) وجود دارد . بموجب

معادله های (2a-c) ، انتگرال (23) را بصورت زیر میتوان نوشت :

$$(28) \quad \int_{-\frac{b}{2}}^{\frac{b}{2}} (N_x \delta u' + N_{xy} \delta v') \frac{dy}{\cos \theta}$$

بالنتیجه شرایط (24 a-d) بشرح زیر خواهد بود :

$$(29 \text{ a , b}) \quad \cdot = \delta u' \quad \text{یا} \quad \cdot = N_x \quad \text{یا}$$

و

$$(29 \text{ c , d}) \quad \cdot = \delta v' \quad \text{یا} \quad \cdot = N_{xy} \quad \text{یا}$$

معادله های (29 a-d) بشکل دیگری شرایط حدی طبیعی را در طول ضلع فوق الذکر بیان میکند .

چهار ترکیب ممکن از این شرایط حدی طبیعی وجود دارد :

**الف - لبه آزاد**

در این مورد آشکارا داریم  $N_x = 0$  و  $N_{xy} = 0$  ، حقیقتی که انتگرال (28) را صفر میگرداشد .

### ب - لبهٔ متکی بر دیافراگم

در این حالت  $N_x = N_{xy} \neq 0$  . شرط اخیر لازم می‌آورد که  $\delta v = \delta w = 0$  باشد. تغییرات تغییر مکانها وقتی باعث برآورده شدن این شرط می‌گردد که مؤلفه‌های  $v$  و  $w$  طوری باشد که  $v = w = 0$  گردد، برای تحقق این امر لازم است که بمحض (۲۶a) میان  $v$  و  $w$  رابطه زیر برقرار باشد:

$$v = -w \operatorname{tg} \theta$$

این رابطه دارای این مفهوم هندسی است که جمع حاملی  $v$  و  $w$  بایستی عمود بر خط لبهٔ گنبد باشد (شکل c)، یعنی عمود بر امتداد  $N_{xy}$  گردد.

باضافه چون  $u$  نیز عمود بر  $N_{xy}$  است، برآیند تغییر مکان عمود بر  $N_{xy}$  خواهد بود.

### ج - لبهٔ متکی بر تکیه گاه آزاد

موردی که  $N_x = N_{xy} \neq 0$  باشد ناظر باین حالت است. این حالت در عمل کمتر اتفاق می‌افتد. از روی معادله (۲۸)، شرط  $\delta u = \delta w = 0$  نتیجه می‌گردد.

### د - لبهٔ گیردار

در این حالت دو مؤلفه تغییر مکان  $\delta u$  و  $\delta v$  بایستی صفر گردد، لذا بایستی  $v = w = -w \operatorname{tg} \theta = u$  باشد. پس برآیند تغییر مکان عمود بر  $N_x$  و  $N_{xy}$  یعنی عمود بر سطح میانگین گنبد خواهد بود. نیروهای پوسته‌ای مانع چنین تغییر مکانی نتوانند گردید لذا بوسیله لبهٔ گیردار کاملاً از این تغییر مکان جلوگیری خواهد شد، عاملی که محاسبه تنش‌های ناشی از گیرداری را امکان‌پذیر می‌سازد.

\* - این حالت حکایت از نوع تکیه گاهی دارد که اساس آن خلاف حالت دیافراگم می‌باشد. این تکیه گاه تغییر مکان را در صفحهٔ خویش اجازه میدهد (پس  $N_{xy} = 0$ )، ولی بحد کافی جسم فرض می‌شود که هر نوع تغییر مکانی را خارج از صفحهٔ خویش مانع گردد، بالنتیجه  $N_x \neq 0$  است.

## فهرست مراجعها

1. Kashani - Sabet , M.H. «Voiles Minces sans flexion , Recherche des conditions aux Limites , «Annales des Ponts et Chaussées , Paris , Janvier - Fevrier 1967 , P. 25-41 .
2. Kashani - Sabet , M.H. «Membrane and Bending Theory of Multi - Span Elliptic Paraboloid Shells» , Dissertation for the Ph.D. degree , Stanford University , January 1962 , p 1-32.
3. Flügge W. «Stresses in Shells» , Berlin Springer , 1960 P. 165 - 174 .
4. Flügge , W. «Statik und Dynamik der Schalen» , 2nd ed. , Berlin Springer , 1957 , p. 111-116.
5. Pucher , A. «Über den Spannungszustand in gekrümmten Flächen» , Beton und Eisen , Vol. 33 (1934) , p. 298.
6. Geyling , F.T. «A General Theory of Deformations of Membrane Shells , «Dissertation for the Ph.D. degree , Stanford University , 1953 , p. 47 - 69.
7. Flügge , W. and Geyling , F. T. «A General Theory of Deformations of Membrane Shells , «Publications of the International Association for Bridge and Structural Engineering , Vol. 17 , 1957 , p. 23-44.
8. Timoshenko , S. , and Goodier , N. «Theory of Elasticity» , New York : Mc.Graw - Hill , 1951 , p. 148.
9. Courant , R. and Hilbert , D. «Methods of Mathematical Physics» , Vol. I , New York : Interscience Publishers , 1953 , p. 164-216 and 246-252 .
10. Hadamard , J.H. «Leçons sur le Calcul de Variations» , Paris. 1910.
11. Courant , R. «Calculus of Variations» , New York University , Institute of Mathematical Sciences , 1945 - 1946 , Revised 1956 - 1957 , p. 10 - 51 .
12. Bliss , G.A. «Lectures on the Calculus of Variations» , University of Chicago Press , Chicago , 1946 .
13. Fox, C. «An Introduction to the Calculus of Variations» , Oxford University Press, London, 1950.
14. Weinstock , R. «Calculus of Variations» , New York : Mc. Graw Hill , 1952.